

ANEXOS

CO-SOLVENTES COMO MODULADORES DEL SABOR

FERNANDO JOSÉ BERGUA PEÑA

Directores:

Dr. José Muñoz Embid

Dra. Manuela Artal Lerín

Zaragoza, Junio 2017

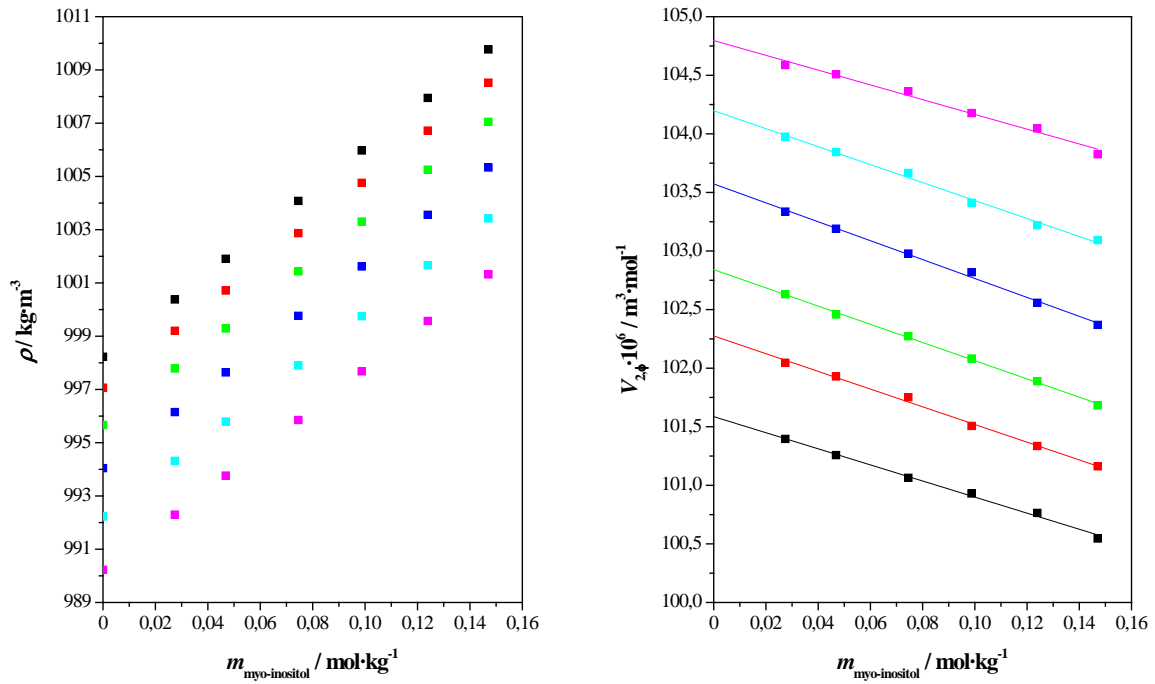


Figura A.1. Propiedades volumétricas de myo-inositol en disolución acuosa en función de la composición, $m_{\text{myo-inositol}}$, a presión atmosférica y a distintas temperaturas: $T = 293,15 \text{ K}$ (■); $T = 298,15 \text{ K}$ (■); $T = 303,15 \text{ K}$ (■); $T = 308,15 \text{ K}$ (■); $T = 313,15 \text{ K}$ (■); $T = 318,15 \text{ K}$ (■).

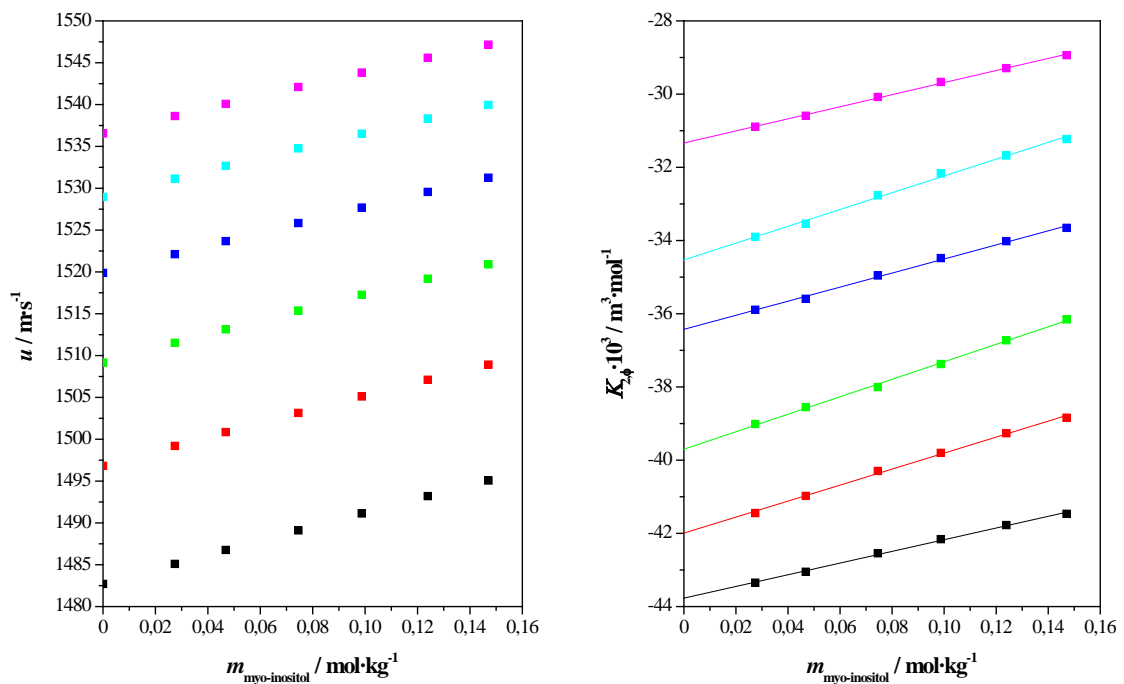


Figura A.2. Propiedades acústicas de myo-inositol en disolución acuosa en función de la composición, $m_{\text{myo-inositol}}$, a presión atmosférica y a distintas temperaturas: $T = 293,15 \text{ K}$ (■); $T = 298,15 \text{ K}$ (■); $T = 303,15 \text{ K}$ (■); $T = 308,15 \text{ K}$ (■); $T = 313,15 \text{ K}$ (■); $T = 318,15 \text{ K}$ (■).

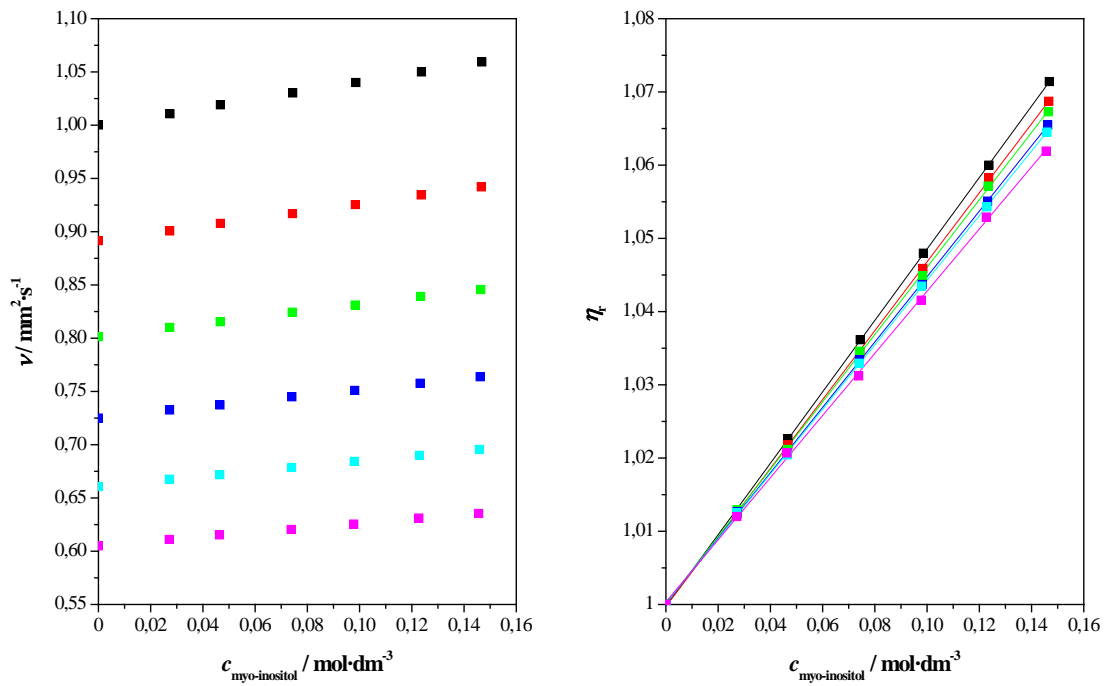


Figura A.3. Propiedades viscosimétricas de myo-inositol en disolución acuosa en función de la composición, $c_{\text{myo-inositol}}$, a presión atmosférica y a distintas temperaturas: $T = 293,15 \text{ K}$ (■); $T = 298,15 \text{ K}$ (■); $T = 303,15 \text{ K}$ (■); $T = 308,15 \text{ K}$ (■); $T = 313,15 \text{ K}$ (■); $T = 318,15 \text{ K}$ (■).

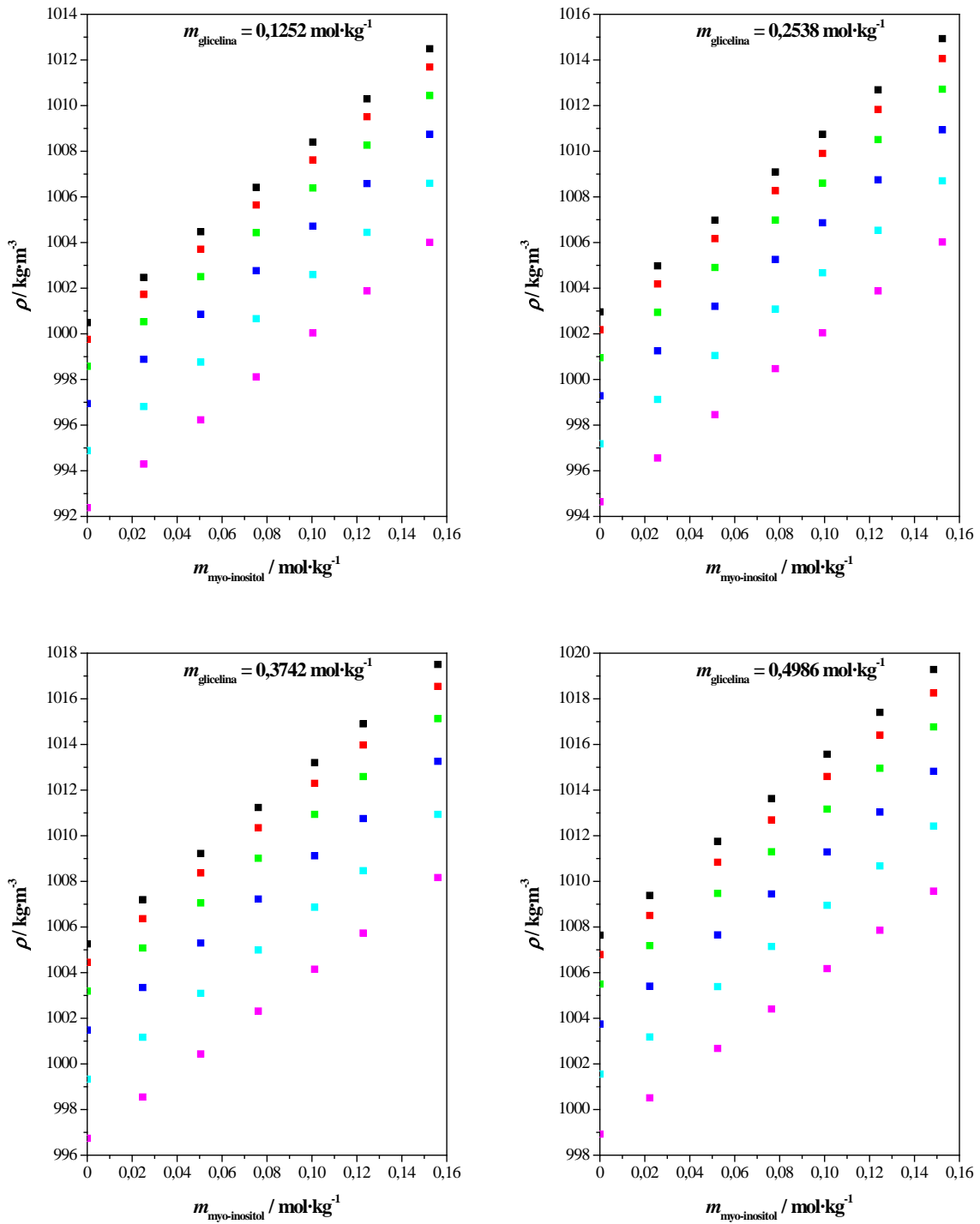


Figura A.4. Densidades, ρ , de myo-inositol en disoluciones acuosas de glicelina en función de la composición, $m_{\text{myo-inositol}}$, a presión atmosférica y a distintas temperaturas: $T = 293,15 \text{ K}$ (■); $T = 298,15 \text{ K}$ (■); $T = 303,15 \text{ K}$ (■); $T = 308,15 \text{ K}$ (■); $T = 313,15 \text{ K}$ (■); $T = 318,15 \text{ K}$ (■).

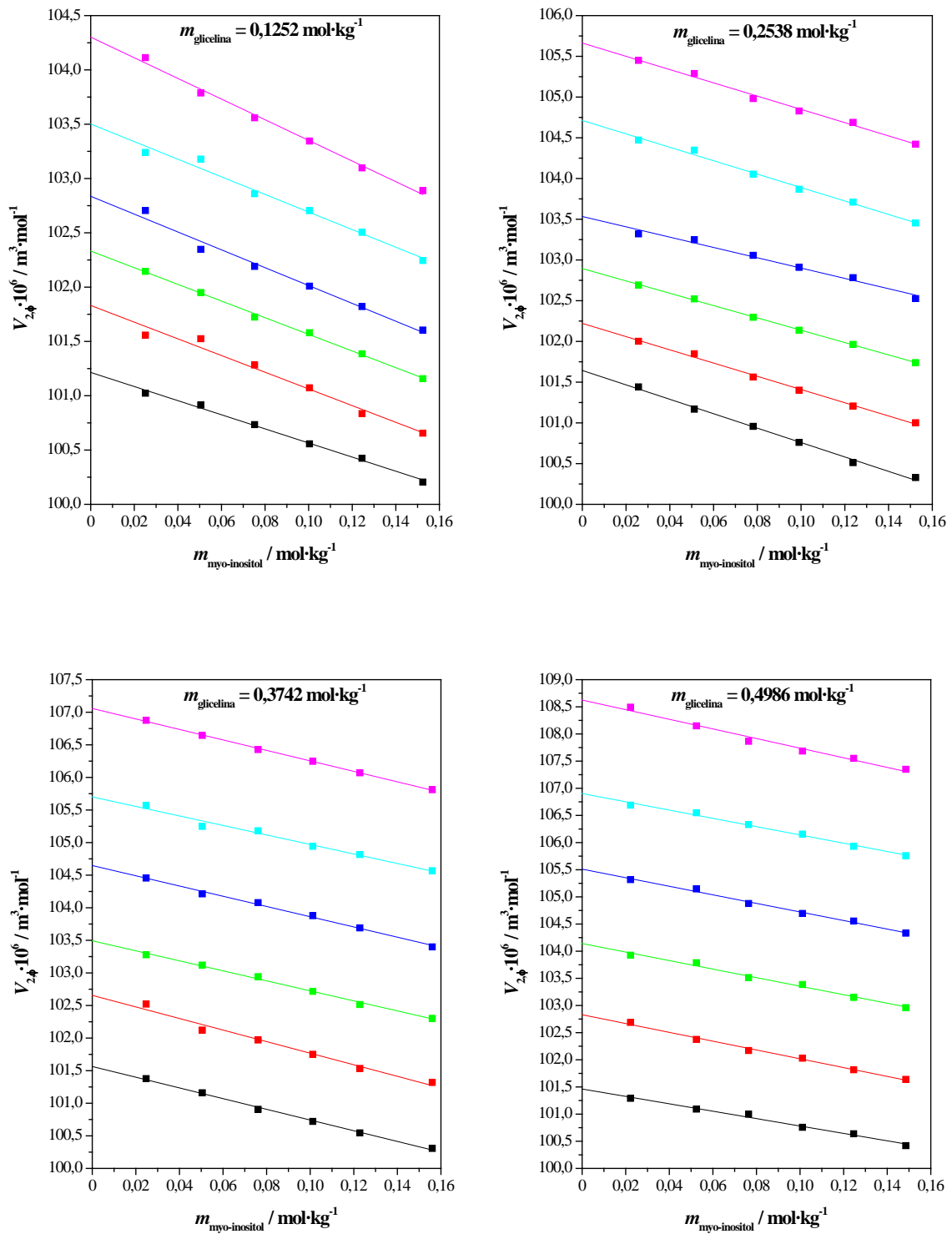


Figura A.5. Volúmenes molares aparentes, V_2 , de myo-inositol en disoluciones acuosas de glicelina en función de la composición, $m_{\text{myo-inositol}}$, a presión atmosférica y a distintas temperaturas: $T = 293,15 \text{ K}$ (■); $T = 298,15 \text{ K}$ (■); $T = 303,15 \text{ K}$ (■); $T = 308,15 \text{ K}$ (■); $T = 313,15 \text{ K}$ (■); $T = 318,15 \text{ K}$ (■).

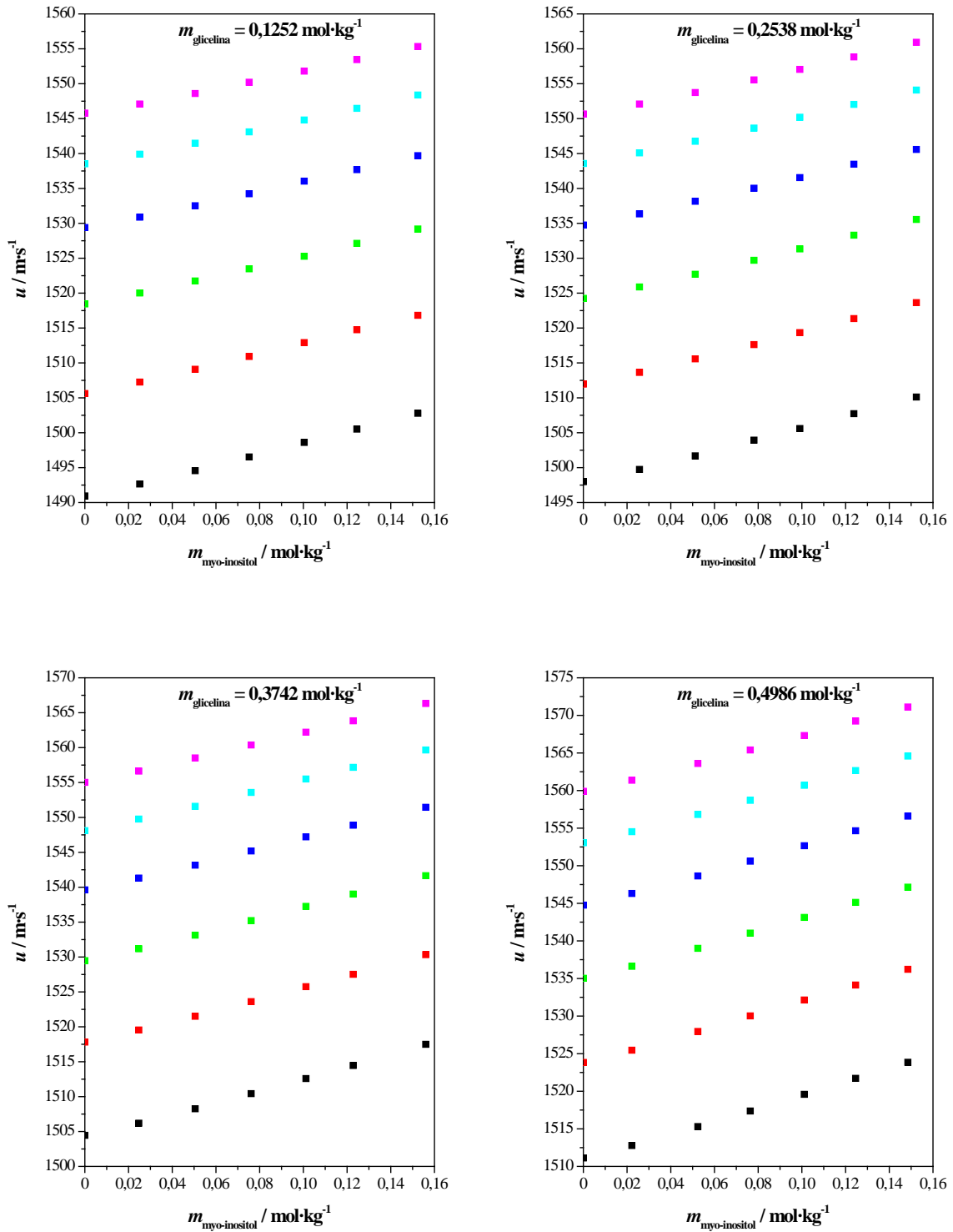


Figura A.6. Velocidades del sonido, u , de myo-inositol en disoluciones acuosas de glicelina en función de la composición, $m_{\text{myo-inositol}}$, a presión atmosférica y a distintas temperaturas: $T = 293,15 \text{ K}$ (■); $T = 298,15 \text{ K}$ (■); $T = 303,15 \text{ K}$ (■); $T = 308,15 \text{ K}$ (■); $T = 313,15 \text{ K}$ (■); $T = 318,15 \text{ K}$ (■).

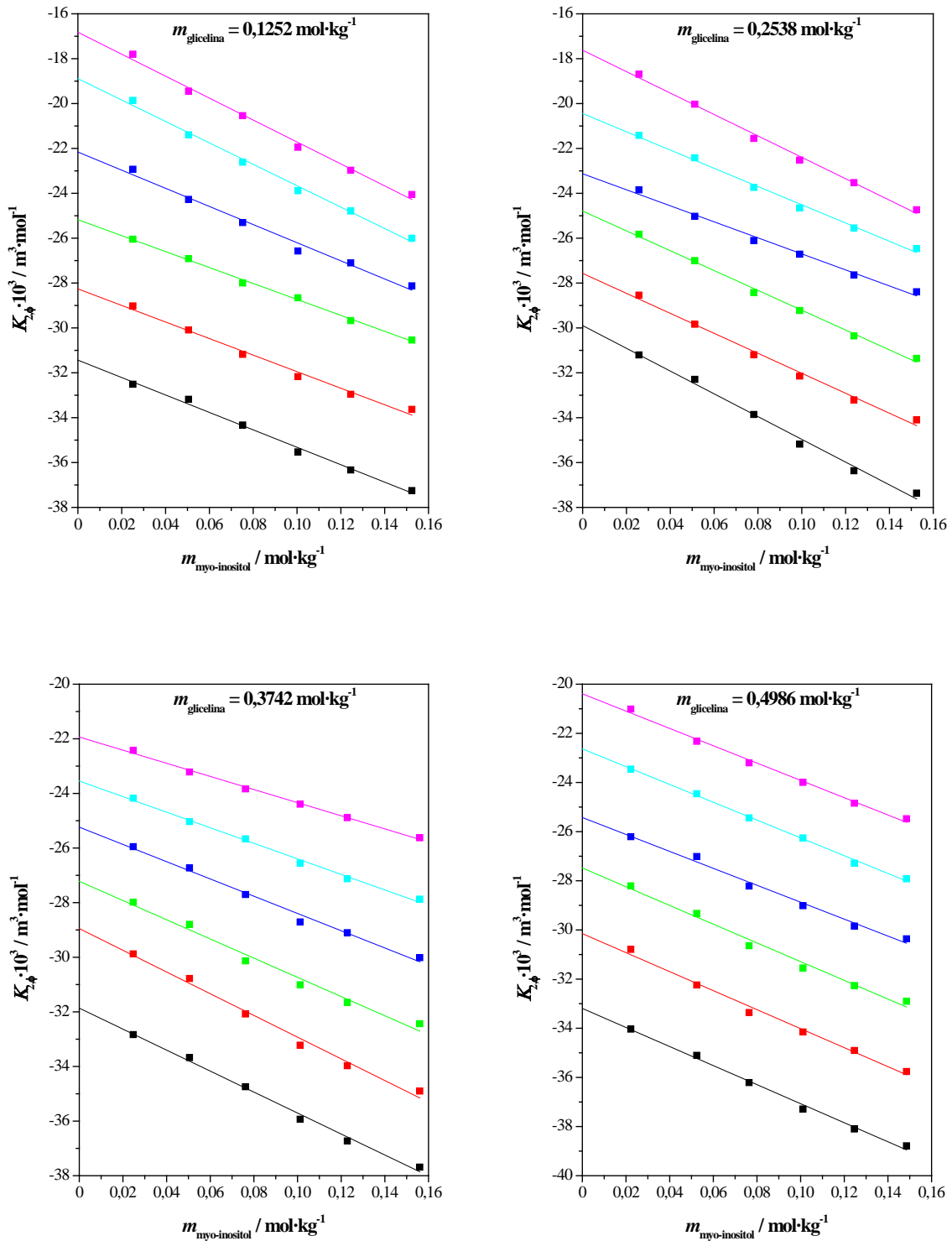


Figura A.7. Compresiones isoentrópicas molares aparentes, $K_{2,\phi}$, de myo-inositol en disoluciones acuosas de glicelina en función de la composición, $m_{\text{myo-inositol}}$, a presión atmosférica y a distintas temperaturas: $T = 293,15 \text{ K}$ (■); $T = 298,15 \text{ K}$ (■); $T = 303,15 \text{ K}$ (■); $T = 308,15 \text{ K}$ (■); $T = 313,15 \text{ K}$ (■); $T = 318,15 \text{ K}$ (■).

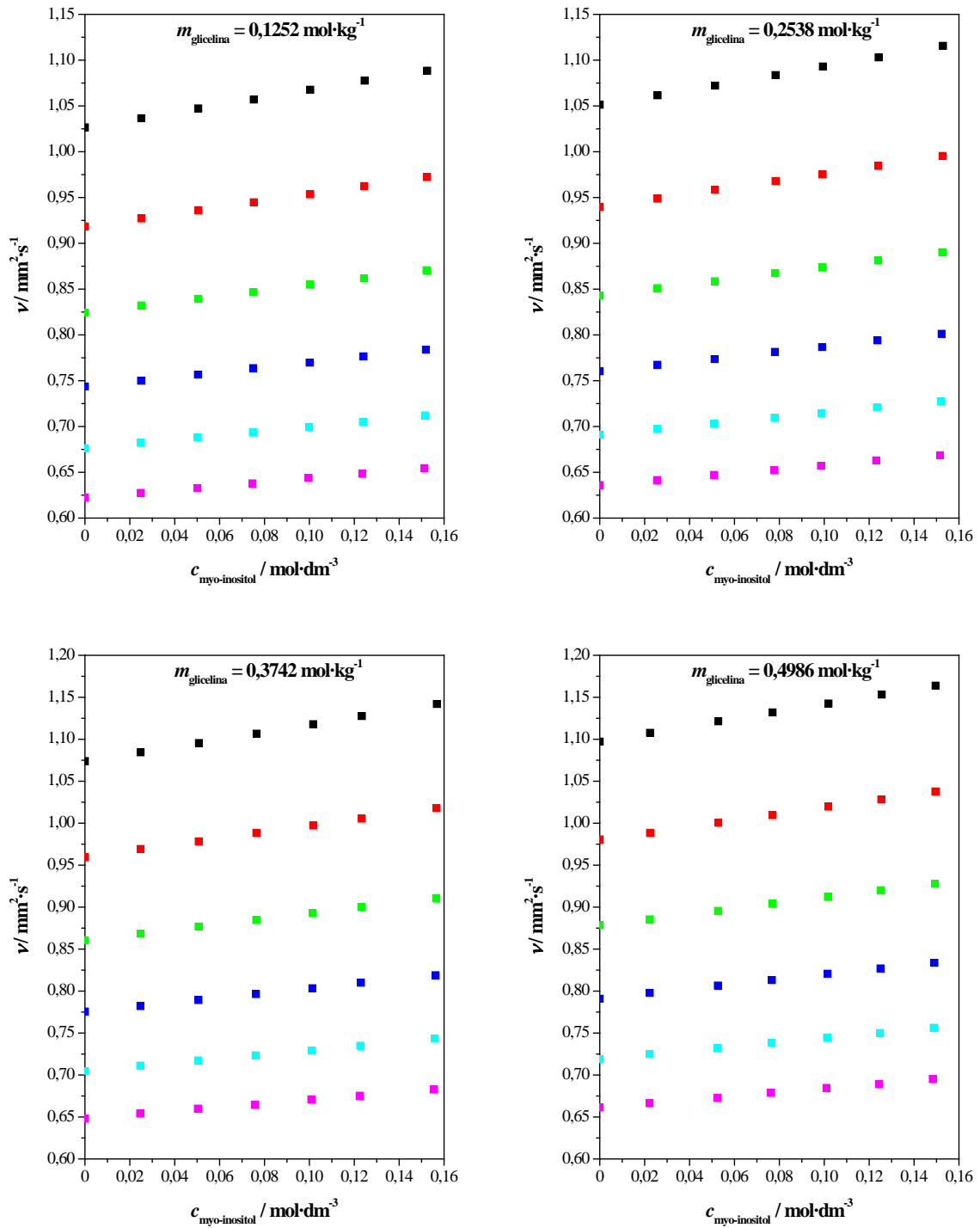


Figura A.8. Viscosidades cinemáticas ν , de myo-inositol en disoluciones acuosas de glicelina en función de la composición, $c_{\text{myo-inositol}}$, a presión atmosférica y a distintas temperaturas: $T = 293,15$ K (■); $T = 298,15$ K (■); $T = 303,15$ K (■); $T = 308,15$ K (■); $T = 313,15$ K (■); $T = 318,15$ K (■).

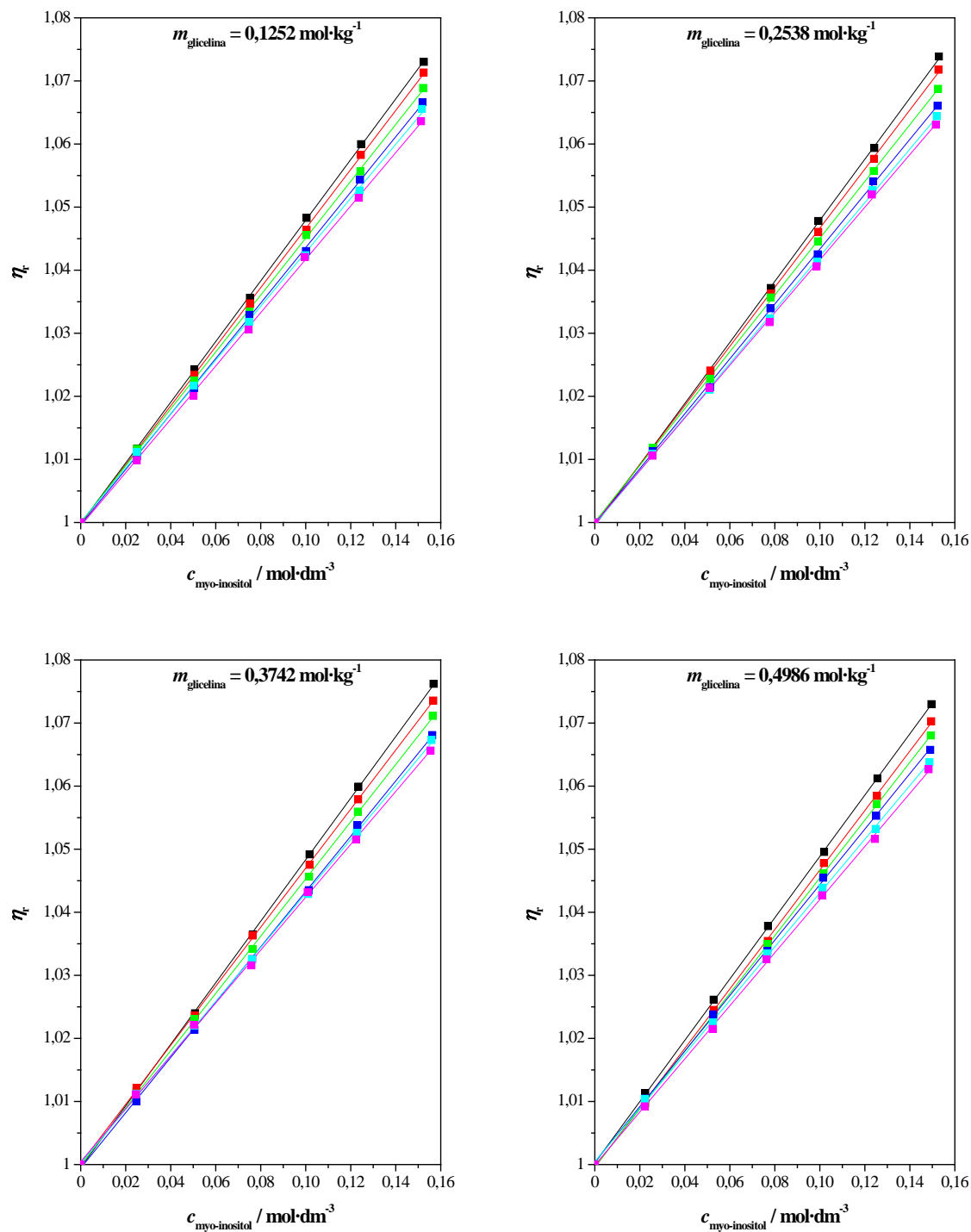


Figura A.9. Viscosidades dinámicas reducidas, $\overline{\eta}_r$, de myo-inositol en disoluciones acuosas de glicelina en función de la composición, $c_{\text{myo-inositol}}$, a presión atmosférica y a distintas temperaturas: $T = 293,15 \text{ K}$ (■); $T = 298,15 \text{ K}$ (■); $T = 303,15 \text{ K}$ (■); $T = 308,15 \text{ K}$ (■); $T = 313,15 \text{ K}$ (■); $T = 318,15 \text{ K}$ (■).

Tabla A.1. Propiedades termofísicas del sistema agua + glicelina (A) + myo-inositol (B) a presión atmosférica y a distintas temperaturas.

T / K	$m_A / \text{mol} \cdot \text{kg}^{-1}$	$m_B / \text{mol} \cdot \text{kg}^{-1}$	$c_B / \text{mol} \cdot \text{dm}^{-3}$	$\rho / \text{kg} \cdot \text{m}^{-3}$	$u / \text{m} \cdot \text{s}^{-1}$	$\kappa_S / \text{TPa}^{-1}$	$V_{2,\phi} \cdot 10^6 / \text{m}^3 \cdot \text{mol}^{-1}$	$K_{2,\phi} \cdot 10^3 / \text{TPa}^{-1} \cdot \text{m}^3 \cdot \text{mol}^{-1}$	$\nu / \text{mm}^2 \cdot \text{s}^{-1}$	$\eta / \text{mPa} \cdot \text{s}^{-1}$	η_r
293,15	0	0	0	998,227	1482,71	455,68			1,0002	0,9984	1
		0,0274	0,0274	1000,381	1485,10	453,23	101,396	-43,348	1,0107	1,0111	1,0127
		0,0468	0,0467	1001,906	1486,77	451,53	101,258	-43,050	1,0191	1,0210	1,0226
		0,0745	0,0744	1004,081	1489,11	449,14	101,064	-42,543	1,0303	1,0345	1,0362
		0,0987	0,0986	1005,976	1491,13	447,08	100,930	-42,159	1,0401	1,0463	1,0480
		0,1239	0,1237	1007,949	1493,20	444,96	100,764	-41,773	1,0500	1,0583	1,0600
		0,1471	0,1468	1009,769	1495,07	443,05	100,546	-41,467	1,0594	1,0697	1,0714
298,15	0	0	0	997,066	1496,82	447,65			0,8916	0,8890	1
		0,0274	0,0273	999,203	1499,20	445,27	102,046	-41,446	0,9007	0,9000	1,0124
		0,0468	0,0467	1000,715	1500,85	443,62	101,929	-40,977	0,9078	0,9084	1,0218
		0,0745	0,0743	1002,871	1503,15	441,32	101,752	-40,296	0,9170	0,9196	1,0344
		0,0987	0,0984	1004,761	1505,11	439,34	101,507	-39,802	0,9254	0,9298	1,0459
		0,1239	0,1236	1006,721	1507,11	437,32	101,335	-39,263	0,9345	0,9408	1,0583
		0,1471	0,1466	1008,522	1508,92	435,49	101,162	-38,842	0,9421	0,9501	1,0687
303,15	0	0	0	995,664	1509,17	440,97			0,8015	0,7980	1
		0,0274	0,0273	997,786	1511,50	438,68	102,631	-39,013	0,8101	0,8083	1,0129
		0,0468	0,0466	999,290	1513,11	437,09	102,458	-38,551	0,8155	0,8149	1,0212
		0,0745	0,0742	1001,433	1515,37	434,85	102,273	-38,003	0,8244	0,8256	1,0346
		0,0987	0,0983	1003,306	1517,27	432,95	102,082	-37,375	0,8311	0,8338	1,0449
		0,1239	0,1234	1005,255	1519,19	431,02	101,889	-36,725	0,8392	0,8436	1,0571
		0,1471	0,1464	1007,049	1520,90	429,29	101,682	-36,155	0,8457	0,8517	1,0673

Tabla A.1. (Continuación)

T / K	$m_A / \text{mol} \cdot \text{kg}^{-1}$	$m_B / \text{mol} \cdot \text{kg}^{-1}$	$c_B / \text{mol} \cdot \text{dm}^{-3}$	$\rho / \text{kg} \cdot \text{m}^{-3}$	$u / \text{m} \cdot \text{s}^{-1}$	$\kappa_S / \text{TPa}^{-1}$	$V_{2,\phi} \cdot 10^6 / \text{m}^3 \cdot \text{mol}^{-1}$	$K_{2,\phi} \cdot 10^3 / \text{TPa}^{-1} \cdot \text{m}^3 \cdot \text{mol}^{-1}$	$\nu / \text{mm}^2 \cdot \text{s}^{-1}$	$\eta / \text{mPa} \cdot \text{s}^{-1}$	η_r
308,15	0	0	0	994,045	1519,88	435,49			0,7250	0,7207	1
		0,0274	0,0272	996,149	1522,12	433,29	103,336	-35,892	0,7326	0,7298	1,0126
		0,0468	0,0465	997,639	1523,68	431,76	103,190	-35,592	0,7373	0,7356	1,0207
		0,0745	0,0741	999,765	1525,84	429,62	102,978	-34,955	0,7450	0,7448	1,0334
		0,0987	0,0981	1001,619	1527,69	427,79	102,819	-34,480	0,7510	0,7522	1,0437
		0,1239	0,1232	1003,559	1529,56	425,92	102,558	-34,017	0,7577	0,7604	1,0551
		0,1471	0,1462	1005,336	1531,26	424,22	102,369	-33,655	0,7638	0,7679	1,0655
313,15	0	0	0	992,228	1528,96	431,12			0,6607	0,6556	1
		0,0274	0,0272	994,316	1531,15	428,98	103,976	-33,901	0,6676	0,6638	1,0125
		0,0468	0,0465	995,794	1532,67	427,50	103,844	-33,542	0,6718	0,6690	1,0204
		0,0745	0,0740	997,901	1534,76	425,43	103,666	-32,765	0,6786	0,6772	1,0329
		0,0987	0,0980	999,749	1536,52	423,67	103,411	-32,168	0,6843	0,6841	1,0435
		0,1239	0,1230	1001,667	1538,33	421,87	103,220	-31,677	0,6900	0,6912	1,0543
		0,1471	0,1459	1003,421	1539,96	420,24	103,093	-31,228	0,6955	0,6979	1,0645
318,15	0	0	0	990,226	1536,55	427,73			0,6050	0,5991	1
		0,0274	0,0271	992,299	1538,63	425,69	104,588	-30,890	0,6110	0,6063	1,0120
		0,0468	0,0464	993,764	1540,08	424,26	104,508	-30,592	0,6153	0,6115	1,0207
		0,0745	0,0738	995,852	1542,10	422,26	104,363	-30,078	0,6204	0,6178	1,0312
		0,0987	0,0978	997,678	1543,82	420,55	104,177	-29,668	0,6255	0,6240	1,0416
		0,1239	0,1227	999,571	1545,59	418,79	104,047	-29,291	0,6311	0,6308	1,0529
		0,1471	0,1456	1001,321	1547,16	417,21	103,826	-28,936	0,6354	0,6362	1,0619
293,15	0,1252	0	0	1000,491	1490,94	449,64			1,0266	1,0271	1
		0,0251	0,0251	1002,472	1492,71	447,69	101,023	-32,509	1,0365	1,0391	1,0117

Tabla A.1. (Continuación)

T / K	$m_A / \text{mol} \cdot \text{kg}^{-1}$	$m_B / \text{mol} \cdot \text{kg}^{-1}$	$c_B / \text{mol} \cdot \text{dm}^{-3}$	$\rho / \text{kg} \cdot \text{m}^{-3}$	$u / \text{m} \cdot \text{s}^{-1}$	$\kappa_S / \text{TPa}^{-1}$	$V_{2,\phi} \cdot 10^6 / \text{m}^3 \cdot \text{mol}^{-1}$	$K_{2,\phi} \cdot 10^3 / \text{TPa}^{-1} \cdot \text{m}^3 \cdot \text{mol}^{-1}$	$\nu / \text{mm}^2 \cdot \text{s}^{-1}$	$\eta / \text{mPa} \cdot \text{s}^{-1}$	η_r
298,15	0,1252	0,0505	0,0505	1004,472	1494,56	445,69	100,914	-33,182	1,0473	1,0520	1,0242
		0,0752	0,0752	1006,418	1496,47	443,70	100,734	-34,329	1,0569	1,0637	1,0356
		0,1004	0,1004	1008,402	1498,52	441,61	100,557	-35,526	1,0677	1,0767	1,0483
		0,1245	0,1246	1010,294	1500,51	439,62	100,424	-36,331	1,0776	1,0887	1,0600
		0,1524	0,1525	1012,491	1502,88	437,28	100,205	-37,251	1,0885	1,1021	1,0730
		0	0	999,758	1505,61	441,25			0,9184	0,9182	1
		0,0251	0,0251	1001,726	1507,29	439,40	101,558	-29,019	0,9272	0,9288	1,0115
		0,0505	0,0505	1003,709	1509,09	437,48	101,525	-30,090	0,9362	0,9397	1,0234
		0,0752	0,0752	1005,645	1510,92	435,58	101,283	-31,179	0,9448	0,9501	1,0347
		0,1004	0,1004	1007,619	1512,86	433,62	101,073	-32,172	0,9535	0,9608	1,0464
303,15	0,1252	0,1245	0,1245	1009,512	1514,75	431,72	100,835	-32,959	0,9625	0,9717	1,0583
		0,1524	0,1524	1011,692	1516,97	429,53	100,655	-33,629	0,9723	0,9837	1,0713
		0	0	998,576	1518,45	434,33			0,8242	0,8230	1
		0,0251	0,0251	1000,530	1520,05	432,57	102,145	-26,047	0,8322	0,8326	1,0117
		0,0505	0,0504	1002,507	1521,74	430,76	101,950	-26,912	0,8394	0,8415	1,0225
		0,0752	0,0751	1004,432	1523,48	428,95	101,724	-27,994	0,8467	0,8505	1,0334
		0,1004	0,1003	1006,389	1525,28	427,11	101,580	-28,657	0,8550	0,8605	1,0456
		0,1245	0,1243	1008,265	1527,13	425,28	101,386	-29,675	0,8617	0,8688	1,0557
		0,1524	0,1522	1010,438	1529,29	423,17	101,157	-30,541	0,8706	0,8797	1,0689
		0	0	996,944	1529,40	428,83			0,7437	0,7414	1
308,15	0,1252	0,0251	0,0250	998,885	1530,90	427,16	102,705	-22,930	0,7500	0,7492	1,0105

Tabla A.1. Continuación.

T / K	$m_A / \text{mol} \cdot \text{kg}^{-1}$	$m_B / \text{mol} \cdot \text{kg}^{-1}$	$c_B / \text{mol} \cdot \text{dm}^{-3}$	$\rho / \text{kg} \cdot \text{m}^{-3}$	$u / \text{m} \cdot \text{s}^{-1}$	$\kappa_S / \text{TPa}^{-1}$	$V_{2,\phi} \cdot 10^6 / \text{m}^3 \cdot \text{mol}^{-1}$	$K_{2,\phi} \cdot 10^3 / \text{TPa}^{-1} \cdot \text{m}^3 \cdot \text{mol}^{-1}$	$\nu / \text{mm}^2 \cdot \text{s}^{-1}$	$\eta / \text{mPa} \cdot \text{s}^{-1}$	η_r
313,15	0,1252	0,0505	0,0503	1000,857	1532,52	425,42	102,348	-24,272	0,7566	0,7572	1,0213
		0,0752	0,0750	1002,768	1534,18	423,69	102,191	-25,305	0,7637	0,7658	1,0329
		0,1004	0,1001	1004,718	1536,00	421,86	102,009	-26,571	0,7697	0,7733	1,0430
		0,1245	0,1241	1006,584	1537,69	420,16	101,821	-27,104	0,7766	0,7817	1,0544
		0,1524	0,1519	1008,744	1539,81	418,10	101,605	-28,124	0,7839	0,7908	1,0666
		0	0	994,885	1538,52	424,64			0,6762	0,6727	1
		0,0251	0,0250	996,814	1539,91	423,05	103,240	-19,857	0,6824	0,6802	1,0111
		0,0505	0,0502	998,759	1541,46	421,38	103,179	-21,391	0,6882	0,6873	1,0217
		0,0752	0,0748	1000,663	1543,04	419,72	102,860	-22,613	0,6936	0,6941	1,0318
		0,1004	0,0999	1002,595	1544,78	417,97	102,704	-23,886	0,6994	0,7012	1,0424
318,15	0,1252	0,1245	0,1239	1004,447	1546,47	416,28	102,504	-24,788	0,7050	0,7081	1,0526
		0,1524	0,1516	1006,596	1548,56	414,27	102,245	-26,003	0,7121	0,7168	1,0656
		0	0	992,383	1545,79	421,72			0,6225	0,6178	1
		0,0251	0,0249	994,292	1547,12	420,18	104,113	-17,800	0,6275	0,6239	1,0099
		0,0505	0,0501	996,230	1548,60	418,56	103,787	-19,446	0,6326	0,6302	1,0201
		0,0752	0,0746	998,114	1550,11	416,96	103,559	-20,540	0,6379	0,6367	1,0306
		0,1004	0,0996	1000,036	1551,80	415,25	103,345	-21,948	0,6438	0,6438	1,0421
		0,1245	0,1236	1001,880	1553,45	413,61	103,098	-22,973	0,6484	0,6496	1,0515
		0,1524	0,1512	1004,007	1555,45	411,67	102,888	-24,054	0,6545	0,6571	1,0636
		0	0	1002,961	1497,99	444,32			1,0513	1,0544	1
293,15	0,2538	0,0257	0,0258	1004,977	1499,80	442,36	101,442	-31,203	1,0616	1,0669	1,0119
		0,0512	0,0514	1006,981	1501,68	440,38	101,168	-32,291	1,0722	1,0797	1,0240
		0,0781	0,0783	1009,093	1503,82	438,20	100,957	-33,858	1,0837	1,0936	1,0372

Tabla A.1. Continuación.

T / K	$m_A / \text{mol} \cdot \text{kg}^{-1}$	$m_B / \text{mol} \cdot \text{kg}^{-1}$	$c_B / \text{mol} \cdot \text{dm}^{-3}$	$\rho / \text{kg} \cdot \text{m}^{-3}$	$u / \text{m} \cdot \text{s}^{-1}$	$\kappa_S / \text{TPa}^{-1}$	$V_{2,\phi} \cdot 10^6 / \text{m}^3 \cdot \text{mol}^{-1}$	$K_{2,\phi} \cdot 10^3 / \text{TPa}^{-1} \cdot \text{m}^3 \cdot \text{mol}^{-1}$	$\nu / \text{mm}^2 \cdot \text{s}^{-1}$	$\eta / \text{mPa} \cdot \text{s}^{-1}$	η_r
298,15	0,2538	0,0991	0,0994	1010,745	1505,60	436,45	100,761	-35,179	1,0931	1,1048	1,0478
		0,1238	0,1242	1012,692	1507,73	434,39	100,512	-36,366	1,1030	1,1170	1,0594
		0,1524	0,1529	1014,934	1510,24	431,99	100,329	-37,363	1,1156	1,1323	1,0739
		0	0	1002,183	1511,96	436,49			0,9397	0,9418	1
		0,0257	0,0258	1004,185	1513,71	434,61	102,002	-28,539	0,9489	0,9529	1,0118
		0,0512	0,0513	1006,169	1515,56	432,70	101,848	-29,835	0,9586	0,9645	1,0241
		0,0781	0,0783	1008,269	1517,62	430,62	101,563	-31,194	0,9680	0,9760	1,0363
303,15	0,2538	0,0991	0,0993	1009,905	1519,30	428,98	101,402	-32,144	0,9755	0,9852	1,0461
		0,1238	0,1241	1011,830	1521,35	427,01	101,207	-33,207	0,9845	0,9961	1,0577
		0,1524	0,1527	1014,056	1523,75	424,73	101,002	-34,101	0,9954	1,0094	1,0718
		0	0	1000,954	1524,25	430,00			0,8428	0,8436	1
		0,0257	0,0257	1002,939	1525,93	428,21	102,693	-25,823	0,8511	0,8536	1,0119
		0,0512	0,0512	1004,907	1527,70	426,38	102,522	-26,997	0,8586	0,8628	1,0228
		0,0781	0,0782	1006,985	1529,70	424,39	102,296	-28,421	0,8676	0,8737	1,0357
308,15	0,2538	0,0991	0,0992	1008,606	1531,30	422,82	102,138	-29,224	0,8737	0,8812	1,0446
		0,1238	0,1239	1010,511	1533,30	420,92	101,963	-30,355	0,8813	0,8906	1,0557
		0,1524	0,1525	1012,719	1535,65	418,72	101,740	-31,359	0,8903	0,9016	1,0688
		0	0	999,286	1534,76	424,84			0,7603	0,7598	1
		0,0257	0,0257	1001,256	1536,39	423,11	103,320	-23,846	0,7674	0,7684	1,0113
		0,0512	0,0512	1003,204	1538,12	421,34	103,249	-25,024	0,7736	0,7761	1,0215
		0,0781	0,0780	1005,261	1540,03	419,43	103,057	-26,101	0,7815	0,7856	1,0340
0,0991	0,0990	1006,866	1541,55	417,94	102,909	-26,713	0,7867	0,7921	1,0425		
0,1238	0,1237	1008,747	1543,45	416,13	102,783	-27,637	0,7940	0,8009	1,0541		

Tabla A.1. Continuación.

T / K	$m_A / \text{mol} \cdot \text{kg}^{-1}$	$m_B / \text{mol} \cdot \text{kg}^{-1}$	$c_B / \text{mol} \cdot \text{dm}^{-3}$	$\rho / \text{kg} \cdot \text{m}^{-3}$	$u / \text{m} \cdot \text{s}^{-1}$	$\kappa_S / \text{TPa}^{-1}$	$V_{2,\phi} \cdot 10^6 / \text{m}^3 \cdot \text{mol}^{-1}$	$K_{2,\phi} \cdot 10^3 / \text{TPa}^{-1} \cdot \text{m}^3 \cdot \text{mol}^{-1}$	$\nu / \text{mm}^2 \cdot \text{s}^{-1}$	$\eta / \text{mPa} \cdot \text{s}^{-1}$	η_r
313,15	0,2538	0,1524	0,1523	1010,938	1545,64	414,06	102,526	-28,387	0,8012	0,8100	1,0661
		0	0	997,183	1543,57	420,89			0,6912	0,6893	1
		0,0257	0,0256	999,125	1545,14	419,22	104,472	-21,419	0,6974	0,6968	1,0109
		0,0512	0,0511	1001,048	1546,79	417,52	104,348	-22,416	0,7031	0,7038	1,0210
		0,0781	0,0779	1003,085	1548,65	415,68	104,054	-23,735	0,7094	0,7116	1,0324
		0,0991	0,0988	1004,674	1550,17	414,21	103,869	-24,654	0,7145	0,7178	1,0413
		0,1238	0,1235	1006,537	1552,01	412,46	103,710	-25,545	0,7209	0,7256	1,0527
318,15	0,2538	0,1524	0,1520	1008,703	1554,19	410,42	103,454	-26,460	0,7274	0,7337	1,0644
		0	0	994,637	1550,67	418,12			0,6361	0,6327	1
		0,0257	0,0256	996,556	1552,15	416,52	105,450	-18,694	0,6416	0,6394	1,0106
		0,0512	0,0509	998,458	1553,74	414,87	105,289	-20,028	0,6472	0,6462	1,0213
		0,0781	0,0777	1000,473	1555,55	413,07	104,981	-21,554	0,6525	0,6528	1,0318
		0,0991	0,0986	1002,041	1557,03	411,64	104,829	-22,518	0,6571	0,6584	1,0406
		0,1238	0,1231	1003,880	1558,84	409,94	104,689	-23,521	0,6630	0,6656	1,0520
293,15	0,3742	0,1524	0,1516	1006,022	1561,04	407,91	104,422	-24,733	0,6686	0,6726	1,0631
		0	0	1005,261	1504,45	439,51			1,0740	1,0797	1
		0,0247	0,0248	1007,199	1506,29	437,59	101,378	-32,832	1,0844	1,0922	1,0116
		0,0505	0,0508	1009,224	1508,28	435,56	101,161	-33,675	1,0955	1,1056	1,0240
		0,0761	0,0765	1011,237	1510,35	433,50	100,907	-34,741	1,1067	1,1191	1,0365
		0,1012	0,1017	1013,207	1512,50	431,43	100,721	-35,932	1,1180	1,1328	1,0492
		0,1228	0,1234	1014,904	1514,38	429,64	100,545	-36,726	1,1276	1,1444	1,0599
298,15	0,3742	0,1560	0,1568	1017,508	1517,32	426,88	100,307	-37,686	1,1420	1,1620	1,0762
		0	0	1004,454	1517,81	432,15			0,9595	0,9638	1

Tabla A.1. Continuación.

T / K	$m_A / \text{mol} \cdot \text{kg}^{-1}$	$m_B / \text{mol} \cdot \text{kg}^{-1}$	$c_B / \text{mol} \cdot \text{dm}^{-3}$	$\rho / \text{kg} \cdot \text{m}^{-3}$	$u / \text{m} \cdot \text{s}^{-1}$	$\kappa_S / \text{TPa}^{-1}$	$V_{2,\phi} \cdot 10^6 / \text{m}^3 \cdot \text{mol}^{-1}$	$K_{2,\phi} \cdot 10^3 / \text{TPa}^{-1} \cdot \text{m}^3 \cdot \text{mol}^{-1}$	$\nu / \text{mm}^2 \cdot \text{s}^{-1}$	$\eta / \text{mPa} \cdot \text{s}^{-1}$	η_r
303,15	0,3742	0,0247	0,0248	1006,364	1519,60	430,31	102,521	-29,876	0,9693	0,9755	1,0121
		0,0505	0,0507	1008,369	1521,53	428,37	102,123	-30,777	0,9784	0,9866	1,0237
		0,0761	0,0764	1010,350	1523,59	426,38	101,970	-32,079	0,9886	0,9988	1,0363
		0,1012	0,1017	1012,297	1525,69	424,38	101,751	-33,219	0,9973	1,0096	1,0475
		0,1228	0,1233	1013,977	1527,52	422,67	101,534	-33,972	1,0055	1,0196	1,0579
		0,1560	0,1567	1016,545	1530,40	420,01	101,319	-34,900	1,0179	1,0347	1,0736
		0	0	1003,188	1529,48	426,12			0,8605	0,8632	1
		0,0247	0,0248	1005,080	1531,24	424,34	103,278	-27,982	0,8685	0,8729	1,0112
		0,0505	0,0507	1007,054	1533,15	422,45	103,120	-28,793	0,8769	0,8831	1,0231
		0,0761	0,0763	1009,012	1535,19	420,51	102,943	-30,133	0,8847	0,8927	1,0342
308,15	0,3742	0,1012	0,1015	1010,936	1537,22	418,60	102,717	-31,008	0,8928	0,9026	1,0456
		0,1228	0,1232	1012,594	1539,00	416,95	102,515	-31,652	0,9002	0,9115	1,0560
		0,1560	0,1565	1015,130	1541,79	414,41	102,303	-32,433	0,9108	0,9246	1,0711
		0	0	1001,485	1539,62	421,24			0,7757	0,7769	1
		0,0247	0,0247	1003,349	1541,35	419,51	104,455	-25,950	0,7821	0,7847	1,0100
		0,0505	0,0506	1005,298	1543,22	417,69	104,213	-26,730	0,7893	0,7935	1,0214
		0,0761	0,0762	1007,226	1545,18	415,83	104,078	-27,703	0,7964	0,8022	1,0326
		0,1012	0,1014	1009,120	1547,19	413,97	103,878	-28,708	0,8034	0,8107	1,0435
		0,1228	0,1230	1010,752	1548,88	412,40	103,691	-29,100	0,8100	0,8187	1,0538
		0,1560	0,1562	1013,263	1551,62	409,93	103,399	-30,015	0,8189	0,8298	1,0681
313,15	0,3742	0	0	999,330	1548,10	417,54			0,7046	0,7041	1
		0,0247	0,0247	1001,168	1549,80	415,85	105,572	-24,173	0,7112	0,7120	1,0112
		0,0505	0,0505	1003,094	1551,64	414,07	105,248	-25,032	0,7174	0,7196	1,0220

Tabla A.1. Continuación.

T / K	$m_A / \text{mol} \cdot \text{kg}^{-1}$	$m_B / \text{mol} \cdot \text{kg}^{-1}$	$c_B / \text{mol} \cdot \text{dm}^{-3}$	$\rho / \text{kg} \cdot \text{m}^{-3}$	$u / \text{m} \cdot \text{s}^{-1}$	$\kappa_S / \text{TPa}^{-1}$	$V_{2,\phi} \cdot 10^6 / \text{m}^3 \cdot \text{mol}^{-1}$	$K_{2,\phi} \cdot 10^3 / \text{TPa}^{-1} \cdot \text{m}^3 \cdot \text{mol}^{-1}$	$\nu / \text{mm}^2 \cdot \text{s}^{-1}$	$\eta / \text{mPa} \cdot \text{s}^{-1}$	η_r
318,15	0,3742	0,0761	0,0760	1004,992	1553,53	412,29	105,181	-25,665	0,7234	0,7270	1,0325
		0,1012	0,1011	1006,864	1555,47	410,49	104,942	-26,554	0,7293	0,7343	1,0429
		0,1228	0,1227	1008,467	1557,17	408,95	104,816	-27,125	0,7349	0,7411	1,0525
		0,1560	0,1559	1010,936	1559,82	406,56	104,568	-27,871	0,7434	0,7515	1,0673
		0	0	996,741	1555,02	414,90			0,6481	0,6460	1
		0,0247	0,0246	998,549	1556,69	413,26	106,876	-22,420	0,6541	0,6532	1,0111
		0,0505	0,0503	1000,439	1558,50	411,52	106,644	-23,215	0,6600	0,6603	1,0221
		0,0761	0,0759	1002,315	1560,34	409,79	106,427	-23,835	0,6649	0,6664	1,0316
293,15	0,4986	0,1012	0,1009	1004,152	1562,19	408,07	106,247	-24,394	0,6711	0,6739	1,0432
		0,1228	0,1224	1005,735	1563,82	406,58	106,070	-24,890	0,6754	0,6793	1,0515
		0,1560	0,1555	1008,167	1566,39	404,27	105,811	-25,625	0,6828	0,6884	1,0656
		0	0	1007,642	1511,12	434,61			1,0972	1,1056	1
		0,0222	0,0224	1009,385	1512,85	432,86	101,290	-34,036	1,1077	1,1181	1,0113
		0,0524	0,0528	1011,754	1515,3	430,46	101,092	-35,102	1,1213	1,1345	1,0261
		0,0764	0,0770	1013,630	1517,37	428,49	100,999	-36,210	1,1320	1,1474	1,0378
		0,1011	0,1019	1015,571	1519,57	426,43	100,757	-37,287	1,1426	1,1604	1,0496
298,15	0,4986	0,1246	0,1256	1017,406	1521,72	424,46	100,638	-38,099	1,1532	1,1733	1,0612
		0,1485	0,1496	1019,284	1523,92	422,46	100,419	-38,783	1,1639	1,1863	1,0730
		0	0	1006,794	1523,83	427,75			0,9807	0,9874	1
		0,0222	0,0224	1008,506	1525,51	426,08	102,688	-30,791	0,9886	0,9970	1,0097
		0,0524	0,0528	1010,839	1527,92	423,76	102,375	-32,239	1,0008	1,0116	1,0245
		0,0764	0,0769	1012,693	1529,94	421,86	102,171	-33,361	1,0096	1,0224	1,0354
		0,1011	0,1018	1014,595	1532,06	419,91	102,029	-34,150	1,0197	1,0346	1,0478

Tabla A.1. Continuación.

T / K	$m_A / \text{mol} \cdot \text{kg}^{-1}$	$m_B / \text{mol} \cdot \text{kg}^{-1}$	$c_B / \text{mol} \cdot \text{dm}^{-3}$	$\rho / \text{kg} \cdot \text{m}^{-3}$	$u / \text{m} \cdot \text{s}^{-1}$	$\kappa_S / \text{TPa}^{-1}$	$V_{2,\phi} \cdot 10^6 / \text{m}^3 \cdot \text{mol}^{-1}$	$K_{2,\phi} \cdot 10^3 / \text{TPa}^{-1} \cdot \text{m}^3 \cdot \text{mol}^{-1}$	$\nu / \text{mm}^2 \cdot \text{s}^{-1}$	$\eta / \text{mPa} \cdot \text{s}^{-1}$	η_r
303,15	0,4986	0,1246	0,1254	1016,412	1534,13	418,03	101,817	-34,904	1,0282	1,0451	1,0584
		0,1485	0,1495	1018,256	1536,33	416,08	101,639	-35,760	1,0379	1,0568	1,0703
		0	0	1005,500	1535,03	422,07			0,8786	0,8834	1
		0,0222	0,0223	1007,185	1536,67	420,46	103,926	-28,206	0,8855	0,8919	1,0096
		0,0524	0,0527	1009,472	1539,01	418,24	103,788	-29,328	0,8956	0,9041	1,0234
		0,0764	0,0768	1011,298	1541	416,4	103,514	-30,641	0,9041	0,9143	1,0350
		0,1011	0,1017	1013,166	1543,1	414,51	103,386	-31,547	0,9122	0,9242	1,0462
308,15	0,4986	0,1246	0,1253	1014,955	1545,12	412,69	103,148	-32,261	0,9201	0,9339	1,0572
		0,1485	0,1493	1016,769	1547,22	410,84	102,961	-32,901	0,9279	0,9435	1,0680
		0	0	1003,751	1544,76	417,5			0,7909	0,7939	1
		0,0222	0,0223	1005,406	1546,38	415,94	105,318	-26,206	0,7979	0,8022	1,0105
		0,0524	0,0526	1007,654	1548,66	413,79	105,147	-27,011	0,8066	0,8128	1,0238
		0,0764	0,0767	1009,448	1550,6	412,02	104,878	-28,214	0,8131	0,8208	1,0339
		0,1011	0,1015	1011,289	1552,63	410,19	104,695	-29,012	0,8207	0,8300	1,0455
313,15	0,4986	0,1246	0,1251	1013,036	1554,65	408,42	104,555	-29,842	0,8270	0,8378	1,0553
		0,1485	0,1491	1014,823	1556,67	406,65	104,332	-30,362	0,8337	0,8461	1,0658
		0	0	1001,555	1553,06	413,95			0,7187	0,7198	1
		0,0222	0,0222	1003,181	1554,62	412,45	106,689	-23,456	0,7250	0,7273	1,0104
		0,0524	0,0525	1005,388	1556,84	410,37	106,549	-24,456	0,7321	0,7360	1,0225
		0,0764	0,0765	1007,146	1558,7	408,68	106,332	-25,438	0,7386	0,7439	1,0335
		0,1011	0,1013	1008,952	1560,67	406,92	106,156	-26,254	0,7447	0,7514	1,0439
0,1246	0,1248	1010,677	1562,66	405,19	105,931	-27,281	0,7501	0,7581	1,0532		
0,1485	0,1487	1012,425	1564,67	403,45	105,759	-27,922	0,7563	0,7657	1,0638		

Tabla A.1. Continuación.

T / K	$m_A / \text{mol} \cdot \text{kg}^{-1}$	$m_B / \text{mol} \cdot \text{kg}^{-1}$	$c_B / \text{mol} \cdot \text{dm}^{-3}$	$\rho / \text{kg} \cdot \text{m}^{-3}$	$u / \text{m} \cdot \text{s}^{-1}$	$\kappa_S / \text{TPa}^{-1}$	$V_{2,\phi} \cdot 10^6 / \text{m}^3 \cdot \text{mol}^{-1}$	$K_{2,\phi} \cdot 10^3 / \text{TPa}^{-1} \cdot \text{m}^3 \cdot \text{mol}^{-1}$	$\nu / \text{mm}^2 \cdot \text{s}^{-1}$	$\eta / \text{mPa} \cdot \text{s}^{-1}$	η_r
318,15	0,4986	0	0	998,925	1559,9	411,41			0,6613	0,6606	1
		0,0222	0,0222	1000,513	1561,42	409,96	108,494	-21,012	0,6664	0,6667	1,0092
		0,0524	0,0523	1002,679	1563,6	407,93	108,150	-22,323	0,6730	0,6748	1,0215
		0,0764	0,0763	1004,406	1565,4	406,29	107,865	-23,200	0,6791	0,6821	1,0325
		0,1011	0,1010	1006,177	1567,32	404,59	107,685	-23,996	0,6846	0,6888	1,0427
		0,1246	0,1245	1007,857	1569,24	402,92	107,551	-24,841	0,6893	0,6947	1,0516
		0,1485	0,1483	1009,573	1571,19	401,24	107,350	-25,474	0,6953	0,7020	1,0627